



حدس سانسور کیهانی قوی در رمیش سیاهچاله بدون فشار

جواد تقی زاده فیروزجایی ^{* ۱ و ۲}

۱. دانشکده فیزیک دانشگاه صنعتی خواجه نصیر، خیابان شریعتی، خیابان مجتبایی، خیابان کاویان، تهران

۲. پژوهشکده فیزیک، پژوهشگاه دانش‌های بنیادی، تهران

پست الکترونیکی: firouzjaee@kntu.ac.ir

(دریافت مقاله: ۱۴۰۰/۳/۶؛ دریافت نسخه نهایی: ۱۴۰۱/۱/۱۵)

چکیده

حدس سانسور کیهانی که توسط پنروز مطرح شد بیان می‌کند که تکینگی سیاهچاله توسط افق رویداد پوشیده می‌شود و تکینگی عربانی در آن نیست هنوز مورد بحث برای پیدا کردن مدل نقض برای آن است. اولین مثال‌های نقض این حدس، از مدل‌های رمیش کروی غبار LTB را که در آن مدل‌ها تکینگی عربان وجود دارد بررسی می‌کنیم. اول نشان خواهیم داد که تکینگی سیاهچاله فضاگونه خواهد بود. سپس نشان می‌دهیم که افق رویداد در خارج تکینگی قرار خواهد گرفت. همچنین نشان خواهیم داد اگر شرط انرژی برقرار باشد، دسته معروفی از این مدل‌ها تکینگی عربان نخواهند داشت. نتیجه خواهیم گرفت که اصل سانسور کیهانی قوی برقرار خواهد بود.

واژه‌های کلیدی: رمیش گرانشی، سیاهچاله غبار، افق ظاهری، حدس سانسور کیهانی، شرط انرژی.

۱. مقدمه

ارائه کرد. هر چند بیان‌های مختلفی از این حدس وجود دارد ولی این حدس به طور ساده بیان می‌کند که تکینگی سیاهچاله توسط افق رویداد آن پوشیده می‌شود [۳]. در بیان قوی حدس سانسور کیهانی، نور به هیچ وجه حتی موضعی نمی‌تواند از تکینگی خارج شود. در بیان ضعیف این حدس، نور می‌تواند به طور موضعی از تکینگی خارج شود ولی در ادامه راه در داخل افق رویداد گیر می‌افتد و در نهایت در داخل تکینگی می‌افتد و یا به ناظر دوردست نمی‌رسد. چون اثبات حدس سانسور کیهانی در حالت کلی مشکل بود مردم به دنبال پیدا کردن مثال

ثبت شناخت سیاهچاله با شناخت تکینگی سیاهچاله با کار [۱] آغاز شد که در سال ۲۰۲۰ جایزه نوبل را به خود اختصاص داد. بعد از تعریف سیاهچاله توسط هاوکینگ و پنروز [۲]، تحقیقات در مورد ماهیت تکینگی سیاهچاله شدت گرفت. هر چند دسته مهمی از تحقیقات در مورد ماهیت کوانتمی بودن تکینگی سیاهچاله‌ها بحث می‌کردند، اما بسیاری از سؤالات در مورد ساختار علی کلاسیکی تکینگی سیاهچاله بی‌پاسخ ماند. پنروز دسته مهمی از این سؤالات را به صورت حدس سانسور کیهانی

فشار آن صفر است را بررسی می کند. سنجه LTB در دستگاه همراه به صورت زیر است:

$$ds^2 = -dt^2 + \frac{R'^2}{1+f} dr^2 + R^2 d\Omega^2, \quad (1)$$

حل معادله اینشتین برای این سنجه به صورت زیر است:

$$\dot{R}^2 = \frac{F}{R} + f \quad \varepsilon = \varepsilon(t, r) = \frac{F'}{\lambda \pi R^2 R}, \quad (2)$$

این سنجه مشابه حالت FRW سه حالت تخت و باز و بسته دارد. برای $f < 0$

$$R = -\frac{F}{2f} (1 - \cos v), t - t_n = \frac{F}{2(-f)^{3/2}} (v - \sin v), \quad (3)$$

برای $f = 0$

$$R = \left(\frac{4F}{\nu}\right)^{1/3} (t - t_n)^{1/3}, \quad (4)$$

و برای $f > 0$

$$R = -\frac{F}{2f} (1 - \cosh v), t - t_n = -\frac{F}{2(f)^{3/2}} (v - \sinh v), \quad (5)$$

که در این سنجه توابع به صورت $F(r)$ ، $f(r)$ ، $R(r, t_n)$ و $R(r)$ است.

از معادله (2) می توانیم بفهمیم که در این سنجه دو نوع تکینگی ظاهر می شود: اولی تکینگی کانونی شدن لایه ها یعنی $R=0$ و دومی تکینگی تقاطع لایه ها یعنی $f'=0$. در ادامه بیشتر به بررسی این تکینگی ها می پردازیم. بعد از انتگرال گیری از معادلات بالا، کمیت t_n ظاهر می شود که زمان تکینگی $R=0$ را بیان می کند؛ چون در $R=0$ نرده ای کرتچمن و چگالی (البته به ازای $f' \neq 0$) بی نهایت می شود. ما با بازمیانوس کردن می توانیم تعداد توابع اختیاری را به دو تا کاوش دهیم. مثلا می توانیم $R(0, r) = r$ قرار دهیم. پس فقط توابع F و f باقی می مانند. بازه ای که در آن رمبش بررسی می شود $r \leq r \leq \infty$ است. با قرار دادن $t_n = 0$ می توانیم مدل فریدمن را به دست آوریم. و $f < 0$ حالت $f = 0$ بسته، $f > 0$ حالت تخت و $f > 0$ حالت باز است. ما در این مقاله برای همه لایه ها در این سنجه یکی است. می توان نشان داد که $M(r)$ جرم در مخصوصات همراه است.

اگر انبساط ژئودزیک های نورگونه برونو سو را برابر صفر قرار

نقض برای این حدس بودند که یکی از مهم ترین مثال ها برای رمبش غبار مطرح شد.

رمبش گرانشی با تقارن کروی غبار با سنجه LTB [۴] توصیف می شود. از قابلیت های این سنجه این است که می توان حدس سانسور کیهانی را در این سنجه بررسی کرد. تلاش های زیادی صورت گرفته است که نشان بدنه در این سنجه تکینگی عربان پایدار وجود دارد [۵]. اخیراً تلاش هایی برای بررسی تشکیل ساختار های کیهانی از اختلال دما در زمان باز ترکیب با به کارگیری با سنجه LTB صورت گرفته است [۶ و ۷]. همچنین می توان نشان داد که تعریف های نسبیت عامی جرم و شار با تعاریف کلاسیک و مشاهدات اخترفیزیکی ما همخوانی دارد [۸].

از طرف دیگر بررسی دقیق تر تکینگی سنجه ها ارتباط مستقیم با فیزیک سیاه چاله رمبشی دارد [۹]. سنجه LTB دو نوع تکینگی از نوع تقاطع لایه ها و کانونی شدن لایه ها دارد، پس جا دارد تکینگی های این سنجه دقیق تر بررسی و نوع آن مشخص شود. در این مقاله ابتدا سنجه غبار برای رمبش گرانشی را شرح می دهیم و سپس مدل هایی از این سنجه را که تکینگی عربان دارند بررسی می کنیم. ابتدا به بررسی ساختار علی این سنجه می پردازیم و مسیر حرکت نور را در سنجه مشخص می کنیم. سپس سطح گیراندازی این سنجه را که با افق ظاهری مشخص می شود تعیین می کنیم و ساختار علی تکینگی را با مسیر حرکت نور و افق ظاهری مقایسه می کنیم. این مقاله به این شکل ترتیب بندی شده است: در بخش ۲ سنجه رمبشی غبار را توصیف می کنیم. در بخش ۳ ساختار علی افق ظاهری، تکینگی و مسیر حرکت نور این سنجه را مقایسه و محاسبه می کنیم. در بخش ۴ مثال هایی عددی برای تأیید حدس سانسور کیهانی ارائه می دهیم. در پایان، در بخش ۵ به بحث و نتیجه گیری می پردازیم. در کل مقاله ثابت گرانش برابر یک است.

۲. سنجه رمبشی غبار

مدل LTB ماده ای با تقارن کروی و غیر همگن به حالت غبار را مورد بررسی قرار می دهد [۱۰]. سنجه این مدل شار کاملی که

سازی آن داریم:

$$\frac{dt/dr/sin}{dt/dr/null} = \frac{\sqrt{(1+f(r))}}{\sqrt{(2M/R+f(r))}}, \quad (9)$$

این رابطه نشان می‌دهد که در داخل افق ظاهری یعنی $R < 2M$ ، شب تکینگی بیشتر ژئودزیک نورگونه کمتر از مخروط نوری است و تکینگی فضائیگونه خواهد بود. فقط در نقطه، $R=2M$ که دقیقاً در مرکز سیاه‌چاله اتفاق می‌افتد، تکینگی به صورت نقطه‌ای نورگونه خواهد بود.

حال می‌خواهیم رفتار افق ظاهری را در مقایسه با مخروط نوری بررسی کنیم. افق ظاهری با ابر سطح $R(t,r) = 2M(r)$ مشخص می‌شود. با دیفرانسیل گرفتن از این معادله و استفاده از معادلات اینشتین به رابطه زیر می‌رسیم:

$$\frac{dt}{dr}/Horizon = -\frac{R'(r)-M'(r)}{R}, \quad (10)$$

با قرار دادن معادله (۱۰) و مقایسه آن با مسیر نور رابطه زیر به دست می‌آید:

$$\frac{dt/dr/Horizon}{dt/dr/null} = 1 - \frac{2M'(r)}{R'}, \quad (11)$$

با استفاده از رابطه $\frac{2M'(r)}{R'} = 8\pi\varepsilon$ معادله اینشتین و قرار دادن آن در رابطه بالا به رابطه زیر می‌رسیم:

$$\frac{dt/dr/Horizon}{dt/dr/null} = 1 - 8\pi, \quad (12)$$

اگر شرط انرژی برقرار و $\varepsilon > 0$ باشد به سادگی می‌توان به این نامساوی رسید:

$$\frac{dt/dr/Horizon}{dt/dr/null} < 1$$

پس می‌توان نتیجه گرفت که شب افق ظاهری در هر نقطه کمتر از مسیر نورگونه خواهد بود و هر نوری که از روی افق ظاهری ساطع شود حتماً در داخل افق ظاهری خواهد افتاد و وارد ناحیه دام می‌شود. حال برگردیم به نقطه مرکز سیاه‌چاله که افق ظاهری و تکینگی در این نقطه با هم تقاطع می‌کنند. رابطه بالا نشان می‌دهد که حتی نوری که در مرکز سیاه‌چاله ساطع می‌شود و تکینگی آن نورگونه است چون در داخل افق ظاهری واقع می‌شود پس نمی‌تواند از آن بیرون بیاید. شکل ۱ نمودار پنروز این رمبش را نشان می‌دهد.

دهیم به دست می‌آوریم $\theta_\ell = 0 \Rightarrow R = F = 2M$ [۱۱] که این سطح را می‌توانیم افق ظاهری بنامیم. این سطح مرز ناحیه دام افتاده و ناحیه آزاد را مشخص می‌کند.

رفتار (r) در این سنجه

ساختار ما در اطراف مرکز رمبش دارد یعنی $\dot{R} = 0$ و این در حالتی است که در اطراف مرکز $f = 0$ باشد و در نقاط دور فضا زمان انبساط پیدا می‌کند، یعنی $\dot{R} > 0$. ما می‌دانیم قبل از تشکیل تکینگی جرم در مرکز صفر است $M(r=0) = 0$. پس از معادله (۳) باید $\frac{f^{1/2}}{F}$ در مرکز مقدار محدود داشته باشد چون نمی‌خواهیم در مرکز تکینگی داشته باشیم. این ما را ملزم می‌کند $f(r=0) = 0$ باشد. اگر بخواهیم توپولوژی جهان ما باز باشد باید بعد از شعاع خاصی $f > 0$ باشیم. پس با این بحثها $f(r)$ در این مدل‌ها باید به شکل زیر باشد. در بخش بعد با دانستن این خواص ساختار علی افق ظاهری، تکینگی و ژئودزیک‌های نوری داخل سیاه‌چاله را محاسبه می‌کنیم.

۳. ساختار علی سنجه

در بخش قبل بحث کردیم که تکینگی کانونی در مرکز سیاه‌چاله $R=0$ تشکیل می‌شود؛ اگر حد $t \rightarrow \infty$ به سمت 0 را در این سنجه برای روابط (۳)، (۴) و (۵) بگیریم می‌توان نشان داد که زمان تشکیل تکینگی در این رابطه صدق می‌کند:

$$t_{AH} = t_n - \frac{4}{3} M(r), \quad (6)$$

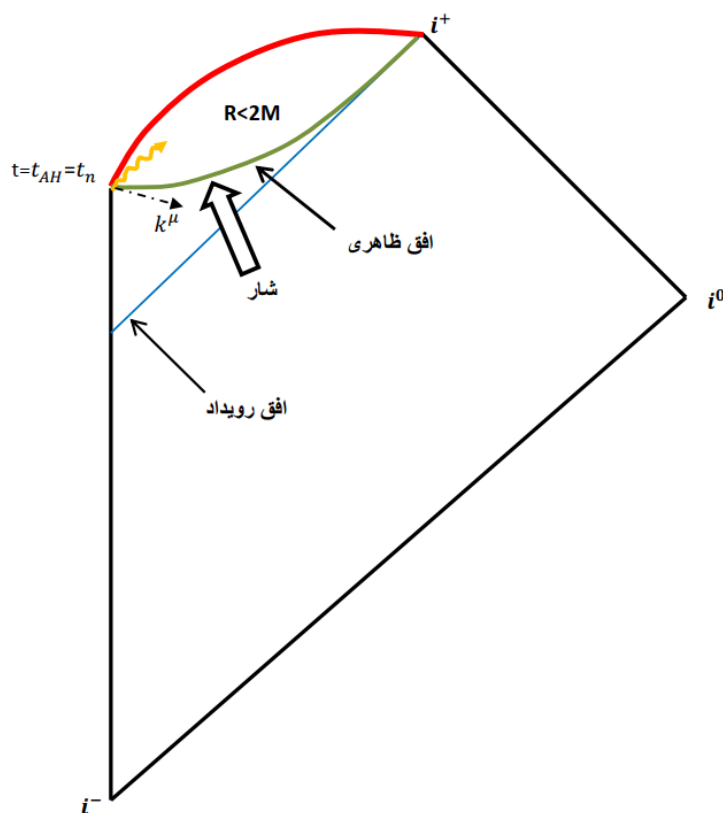
شب مخروط نوری برونسو برای این سنجه، با قرار دادن معادله اینشتین به این صورت خواهد بود:

$$\frac{dt}{dr}/null = \frac{R'(r)}{\sqrt{1+f(r)}}, \quad (7)$$

از طرفی می‌دانیم جهان خط تکینگی در رویتابع $R(t,r)=0$ واقع شده است. پس با یک دیفرانسیل گرفتن می‌توان در مختصات (t,r) شب تکینگی سیاه‌چاله را بیان کرد

$$\frac{dt}{dr}/sin = -\frac{R'(r)}{R}, \quad (8)$$

با مقایسه شب تکینگی و مسیر نورگونه مخروط نوری و ساده



شکل ۱. نمو دار پنروز تحول افق رویداد، ظاهری، تکینگی و ساختار علی سنجه غبار.

ساطع شود توسط افق رویداد پوشانده می‌شود. در نتیجه حدس افق سانسور کیهانی پنروز در این مدل برقرار می‌ماند.

برای این که مطمئن شویم هیچ نوری از تکینگی ساطع نخواهد شد، نورهایی را که در نزدیکی مرکز تکینگی ساطع می‌شوند بررسی می‌کنیم. این نورها از این جهت حائز اهمیت هستند که اگر قرار باشد نوری از تکینگی خارج شود و به ناظر بی‌نهایت دور برسد، نوری است که از مرکز تکینگی ساطع می‌شود. همان طور که در شکل ۳ می‌بینیم، نوری که از اطراف تکینگی و حتی قبل از تشکیل آن از مرکز آن ساطع می‌شود وارد افق شده و در نهایت به تکینگی می‌رسد. بنابراین هیچ نوری از اطراف مرکز تکینگی به ناظر بی‌نهایت نمی‌رسد.

۵. بحث و نتیجه‌گیری
بیان‌های مختلفی از حدس سانسور کیهانی پنروز وجود دارد. در

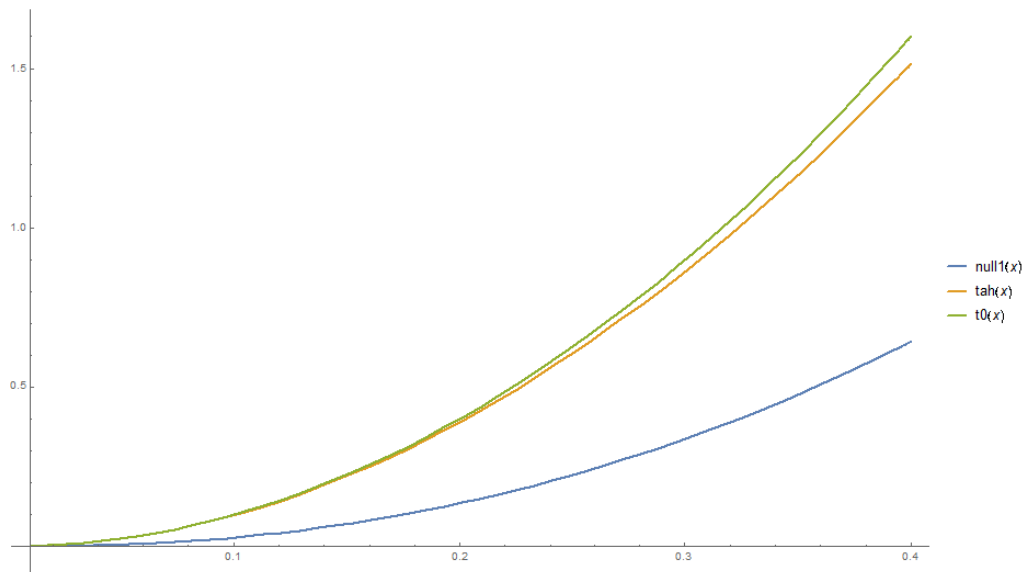
در بخش بعد مثال‌هایی از این مدل‌ها را که برای تکینگی عربان مطرح شده‌اند معرفی می‌کنیم.

۴. مثال‌های عددی تکینگی عربان

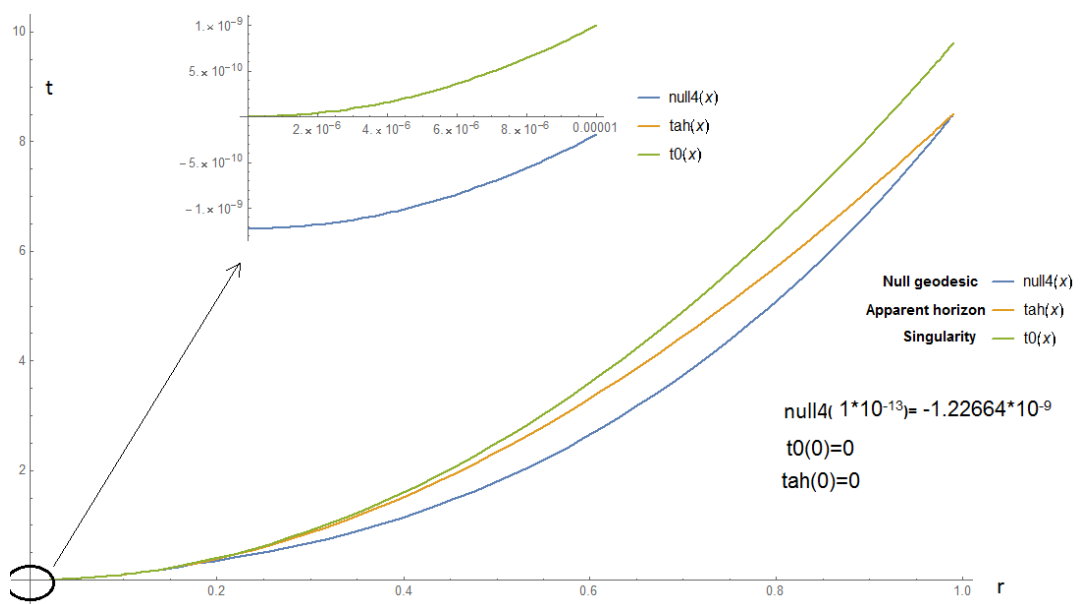
دسته‌های مهمی از مدل‌هایی که در آن ادعای شده تکینگی عربان وجود دارد در مدل‌های LTB تحت است [۱۲]. در این مدل‌ها p و q مقادیر ثابتی هستند. همچنین جرم میزرن-شارپ در این مدل‌ها $m(r)=r^3$ داده می‌شود. اگر شرط انرژی را به کار ببریم که بیان می‌کند چگالی انرژی در آن مثبت است، معادله (۲) به معادله زیر می‌رسد:

$$\varepsilon = \varepsilon(t, r) = \frac{F'}{R'R} > 0 \quad (13)$$

حال با استفاده از این شرط انرژی و معادله (۲) و (۷) ساختار علی این مدل را مطابق شکل ۲ رسم می‌کنیم. همان‌طور که در شکل نشان داده شده است تکینگی $R=0$ در داخل افق رویداد و افق ظاهری قرار دارد. بنابراین هر نوری که از تکینگی



شکل ۲. تحول افق رویداد، ظاهری، تکینگی و ساختار علی سنجه LTB در حالت تخت را نشان می‌دهد.



شکل ۳. مسیر نور ساطع شده از نزدیکی مرکز تکینگی رسم شده است

رمیش کردن غبار را که در آنها تکینگی عربان وجود دارد بررسی کردند. ابتدا نشان دادیم که در یک رمیش کردن تشکیل سطح دام اندازی در این سنجه اجتناب ناپذیر است و در یک زمان محدود تکینگی تشکیل خواهد شد. ابتدا با محاسبه شب تکینگی و مقایسه آن با مخروط نوری نشان دادیم تکینگی این سنجه نمی‌تواند به صورت سراسری زمانگونه باشد. پس یا

بیان قوی آن: تکینگی سیاهچاله توسط افق رویداد پوشیده می‌شود و هیچ نوری حتی به صورت موضعی از آن خارج نمی‌شود. در نیم قرن اخیر بحث‌هایی برای پیدا کردن مدل‌های نقض برای آن مطرح شده است. اولین مثال‌های نقض این حدس، از مدل‌های رمیش کردن تشکیل سیاهچاله به حالت غبار مطرح شده است. در این مقاله دسته‌هایی از مدل‌های

افتاد. همچنین نشان داده ایم اگر شرط انرژی برقرار باشد دسته معروفی از این مدل‌ها، تکینگی عربان نخواهد داشت. البته در حالتی که شار کامل باشد و یا ماده کیهانی به داخل سیاه‌چاله بیفتد رفتار پیچیده‌تری از افق به وجود می‌آید که بررسی آن مسئله را پیچیده‌تر می‌کند [۱۳].

فضاگونه است یا فقط در مرکز سیاه‌چاله نورگونه است. نشان دادیم شب افق ظاهری در مرکز سیاه‌چاله کمتر از شب یک ژئودزیک نورگونه است. از این پدیده می‌توان نتیجه گرفت که حتی نور به طور موضعی ساطع شده از تکینگی، در داخل افق ظاهری می‌افتد و بعد از زمانی مجدداً در داخل تکینگی خواهد

مراجع

1. R Penrose, *Phys. Rev. Lett.* **14** (1965) 57.
2. S Hawking and R Penrose, *Proc. Roy. Soc. A* **314** (1970) 529.
3. R Penrose, *Riv. Nuovo Cim.* **1**(1969) 252.
4. R C Tolman, *Proc. Natl. Acad. Sci. U.S.A.* **20** (1934) 437. ; H Bondi, *Mon. Notices Royal Astron. Soc.* **107** (1947) 410. ; G Lemaitre, *Ann. Soc. Sci. A* **53** (1933) 51.
5. P S Joshi and I H Dwivedi, *Phys. Rev. D* **47** (1993) 5357. ; R P A C Newman, *Class. Quantum Gravity* **3** (1986) 527. ; D Christodoulou, *Commun. Math. Phys.* **93** (1984) 171.
6. J T Firouzjaee and R Mansouri, *Gen. Rel. Grav.* **42** (2010) 2431.
7. A Krasinski and C Hellaby, *Phys. Rev. D* **65** (2002) 023501. ; C Hellaby and A Krasinski, *Phys. Rev. D* **73** (2004) 023518.
8. J T Firouzjaee, M P Mood, and R Mansouri, *Gen. Rel. Grav.* **44** (2012) 639.
9. C J S Clarke, *Class. Quant. Grav.* **10** (1993) 1375. ; F J Tipler, *Phys. Lett. A* **64** (1977) 8.; C J S Clarke and A Krolak, *J. Geom. Phys.* **2** (1985) 127.
10. R C Tolman, *Proc. Nat. Acad. Sci.* **20** (1934) 169 [*Gen. Rel. Grav.* **29** (1997) 935.]; H Bondi, *Mon. Not. Roy. Astron. Soc.* **107** (1947) 410.
11. J T Firouzjaee, *Int. J. Mod. Phys. D* **21** (2012) 1250039.
12. D M Eardley and L Smarr, *Phys. Rev. D* **19** (1979) 2239.
13. J T Firouzjaee and G F R Ellis, *Gen. Rel. Grav.* **47** (2015) 6.